

مدل عددی لکه نفتی در منطقه جزیره خارک

هلن میرزاوی^۱، مسعود ترابی آزاد^۲ و افشین محسنی آراسته^۳

دانشکده علوم و فنون دریایی، دانشگاه آزاد اسلامی واحد تهران شمال

(تاریخ دریافت: ۱۳۹۸/۰۸/۱۳؛ تاریخ پذیرش: ۱۳۹۹/۰۴/۰۸)

چکیده

با استفاده از اطلاعات هیدرولوگرافی منطقه خلیج فارس و توسط نرم‌افزار Mike 21 حرکت لکه نفتی در اطراف جزیره خارک مطالعه شده است. در این مدل از شبکه‌بندی مثلثی نامنظم با ۱۱۳۲۵ گره و در نظر گرفتن سطح تراز جزر و مدي جزیره هنگام در تنگه هرمز و مرز خشکی در سواحل، شار جریان آب به دست آمده است. سپس جریان‌های جزر و مدي در منطقه خارک بادر نظر گرفتن ^۳ مرز باز و یک مرز خشکی (ساحل بوشهر) شبیه‌سازی شد. بهمنظور کالیبراسیون اطلاعات، سطح تراز جزر و مدي در ایستگاه خارک با خروجی سطح تراز جزر و مدي مدل مقایسه گردید. بر اساس نتایج مدل میزان نوسان‌های سطح آب ناشی از جزر و مدار از ۲۵-۱۵ فوریه ۲۰۱۱، ۰.۳۳ تا ۰.۳۷ متر و اندازه سرعت جریان‌های جزر و مدي از ۰ تا ۰/۷ متر بر ثانیه محاسبه شد. همچنین میزان نوسان‌های سطح آب ناشی از جزر و مدار از ۰ تا ۰/۳۶ متر و اندازه سرعت جریان‌های جزر و مدي ۰ تا ۰/۶ متر بر ثانیه حاصل شد. بر اساس مقدار جریان به دست آمده از مدل برای یک ایستگاه، سری زمانی جریان جزر و مدي رسم و معادله مکان زمان آن بدست آورده شد. برای به دست آوردن مسیر طی شده توسط لکه نفتی با استفاده از نرم‌افزار Adiose ۲ مدت زمان رسیدن لکه به حالت امولوسیون کامل و در نتیجه توقف لکه به دست آمده است. سرعت جریان‌های جزر و مدي به دست آمده در ماه فوریه ۲۰۱۱ بیشتر از آگوست ۲۰۱۱ است و در نتیجه در فوریه ۲۰۱۱ در حرکت لکه نفتی نوسان زیادی مشاهده می‌شود.

واژه‌های کلیدی: جریان جزر و مدي، مدل عددی، لکه نفتی، نرم‌افزار Mike 21، نرم‌افزار Adiose 2، جزیره خارک، خلیج فارس

Oil spill simulation in the Khark Island region

H. Mirzaie, M. Torabi Azad and A. Mohseni Arasteh

Faculty of Marine Science and Technology

Islamic Azad University, North Tehran Branch, Tehran, Iran

(Received: 04/November/2019 ; Accepted: 28/June/2020)

Abstract

In this paper, the movement of an oil spill around the Khark Island has been studied, using the hydrographic information of the Persian Gulf region and the Mike21 software. To obtain the water flow flux, a model with an irregular triangular network containing 11325 nodes was assumed and the tidal level of Hengam Island in the Strait of Hormuz and the land boundary condition on the coast were considered. Then the tidal currents in the Khark region were simulated by considering 3 open boundaries and one land boundary (the Bushehr coast). In order to calibrate the information, the tidal level in Khark station was compared with the output of the model tidal level. Based on the results of the model, the amount of water level fluctuations caused by the tides from February 15-25, 2011 were calculated to be in the range of 0.33 to 2.27 meters and the speed of the tidal currents were calculated from 0 to 0.7 meters per second. Also, the amount of water level fluctuations caused by the tides from 10 to 20 August 2011 were 0.36 to 2.19 meters and the speed of tidal currents were 0 to 0.6 meters per second. Based on the value of current obtained from the model for a station, the tidal current time series was plotted and its time-space equation was obtained. To obtain the path taken by the oil spill, the time for the spill to reach full emulsion and thus stop, is obtained using Adios2 software. In 2011 the tidal currents obtained in February were faster than August and as a result, in February 2011, there were a lot of fluctuations in the movement of the oil spill.

Key words: Tidal Current, Numerical Modeling, Oil Spill, Mike21 Software, Adios2 Software, Persian Gulf, Khark Island.

- کارشناس ارشد: helen.mirzaei@gmail.com

- استاد (نویسنده پاسخگو): M_Azad@Iau-tmb.ac.ir

- دانشیار: afshinma2000@yahoo.com

۱- مقدمه

جزیره خارک از نظر موقعیت جغرافیایی در $29^{\circ}15'$ عرض شمالی و $50^{\circ}20'$ طول شرقی در ۵۷ کیلومتری شمال غربی بوشهر و ۳۵ کیلومتری بندر گناوه واقع است. طول جزیره در راستای شمال – جنوب حدود km ۸ و دارای عرض ۴km می‌باشد. ارتفاع متوسط آن از سطح دریا ۳ متر و دمای این جزیره در طی سال از 4° تا 46° درجه سانتی‌گراد متغیر است. میانگین روزانه دما در زمستان 17°C و در تابستان $32/6^{\circ}\text{C}$ می‌باشد. این جزیره یکی از مهم‌ترین پایانه‌های صادرات نفت جهان بشمار می‌رود بهطوری‌که در زمان جنگ ایران و عراق٪۹۰ صادرات نفت ایران از این جزیره صورت می‌گرفت. این صادرات نفت ایران از این جزیره بخشنده می‌شود. این جزیره بهدلیل داشتن سواحل عمیق برای ایجاد لنگرگاه و پهلو گرفتن نفت‌کش‌ها بسیار مناسب می‌باشد. علاوه بر این قشر سنگ‌ها سطح جزیره را پوشانده بهطوری‌که ارتفاع وسط جزیره به ۶۰ متر می‌رسد، این ارتفاعات موجب شده بندرگاه‌های شرقی خارک در مقابل شدت جریان باد شمال غربی و جنوب شرقی در امان بمانند [۵].

صباح یزدی در سال ۲۰۰۵ با حل ترکیبی معادلات هیدرودینامیک و معادلات هم‌رفتی و پخش لکه نفتی، لکه نفتی ناشی از جریان‌های جزر و مداری را در خلیج فارس شبیه‌سازی کرد. وی از معادلات هیدرودینامیکی دو بعدی پیوستگی جرم و اندازه حرکت متوسط گیری شده در عمق استفاده به عمل آورد. اثر تبخیر در معادله پیوستگی و اثر شب بستر و اصطکاک و نیروی کوریولی در معادله اندازه حرکت وارد شد. جریان متوسط ماهیانه ارونده رود در سرعت جریان ورودی لحظه شده و خط ساحلی و جزایر به عنوان شرایط مرزی در نظر گرفته شدند. حرکت لکه بهدلیل سرعت جریان آب فرض شده و از سرعت باد صرف نظر شد. نتایج شبیه‌سازی نشان داد که حرکت لکه نفتی بهدلیل جریان آب و فاکتورهای پخش بوده و گسترش لکه در جهات مختلف در خلیج فارس متفاوت است که بهدلیل وجود میدان‌های سرعت متفاوت در الگوی جریان می‌باشد [۶].

چائو در ۲۰۰۱ و ۲۰۰۳ میلادی مدلی را برای حادثه ریزش نفت در تنگه سنگاپور که در ۱۹۹۷ رخ داده بود ارائه کرد. این ریزش به میزان 28500 تن در ابعاد 2 km^2

با توجه به نیاز روزافزون جهان به انرژی و رشد سریع اقتصادی آن موجب افزایش درخواست سوخت‌های نفتی در دهه‌های اخیر شده است. اغلب لکه‌های نفتی در مسیر تردد کشتی‌ها مشاهده می‌شوند، آلودگی لکه نفتی در نتیجه رهاسازی نفت و تخلیه توسط کشتی‌ها، حفاری، اسکله‌های نفتی، برخورد نفت‌کش‌ها، انفجار چاه‌های نفت، شکستن خطوط لوله در دریاها پخش می‌شود. از این میان برخورد نفت‌کش‌ها فقط٪۵ درصد آلودگی‌ها را شامل می‌شود. نفتی که سطح آب را می‌پوشاند اثر نامناسبی بر زندگی پرنده‌گان دریایی دارد و نفت تهشیں شده موجب از بین رفتن تعداد زیادی از ارگانیزم‌های بستریزی می‌شود. این لکه‌ها خسارات جدی به آبیان وارد کرده و موجب آلودگی خط ساحلی می‌شود، این رویدادها در مجموع برای محیط اقیانوس مضر بوده و سلامتی بشر را به خطر می‌اندازد. این دلیلی بر ضرورت مطالعه بیشتر در این زمینه است. عموماً حرکت و سرنوشت لکه‌های نفتی در آب تابع فرایندهای فیزیکی، شیمیایی و بیولوژیکی است که تابع خواص نفت، شرایط هیدرودینامیک و شرایط زیستمحیطی است [۱]. از بزرگ‌ترین نشت‌های نفتی جهان، نشت نفت در سواحل کویت را می‌توان بیان کرد. که در اوایل دهه ۱۹۹۰ بهدلیل حوادث مربوط به جنگ رخ داد. نشت نفت در مقیاس‌های مختلف می‌تواند اثرات محرابی بر اجزای مختلف محیطی مانند خاک، آب‌های زیرزمینی، محیط‌زیست دریایی، کیفیت دریایی و آلودگی هوا ایجاد کند. علاوه بر این، هزینه پاکسازی نشت نفت و اصلاح آن می‌تواند بسیار زیاد باشد [۲]. خلیج فارس یک خور معکوس کاملاً شور و نیمه محصور است که در معرض خطر نشت نفت در فعالیت‌های نفت و گاز دریایی است. دلایل مختلف منجر به نشت نفت به طور تصادفی از منابع ثابت و متحرک در محیط دریایی می‌شود؛ بنابراین، داشتن برنامه‌ای منظم برای کاهش پیامدهای نشت نفت ضروری است. به همین منظور یک سامانه پشتیبان تصمیم‌گیری عمومی برای برنامه‌ریزی پاسخ منفعل و فعل در خلیج فارس، قبل و بعد از نشت نفت، پیشنهاد شده است [۳ و ۴].

صدری نسب و حسینی در ۲۰۱۰ جریان‌های جزر و مدي در خلیج بوشهر را با استفاده از مدل کوهرنس با واردکردن نیروهای کشنده، باد، اصطکاک اولیه و گرادیان فشار شبیه‌سازی کردند. به منظور شبکه‌بندی مدل از فواصل ۲۵۰ متر در راستای شرق- غرب و فواصل ۲۵۰ متر در راستای شمال- جنوب و نیز از سطح تا عمق به ۱۰ لایه تقسیم کردند. از جمله پارامترهای جوی استفاده شده در مدل شامل مؤلفه‌های سرعت باد، رطوبت نسبی، دمای هوا، پوشش ابرو بارش ایستگاه هواشناسی بوشهر می‌باشد. دما و شوری مرز باز مدل را، با توجه به داده‌های شبیه‌سازی دما و شوری مدل کوهیرنس در خلیج فارس انتخاب کرده و دامنه و فاز چهار مؤلفه اصلی جزر و مدل K_1 , O_1 , M_2 , S_2 بندر بوشهر را به عنوان شرایط مرزی باز در نظر گرفته و از معادلات ناویر- استوکس برای مدل‌سازی جریان‌ها استفاده نمودند. مدل در بازه زمانی ۵ سال در خلیج بوشهر برای رسیدن رژیم گردش آب و سایر خواص آب به یک چرخه پایدار اجرا شد. نمودارهای جزر و مدل و جریان در بازه ۱۴ روز رسم و باددههای شرکت جهاد آب و انرژی مقایسه شد که نتایج مدل هم‌خوانی خوبی با اندازه‌گیری‌های میدانی داشت. درنتیجه مقایسه نوسان‌های سطح آب و جریان نشان داده شد، به طوری که در مدل سرعت جریان کاهش و در جزر سرعت جریان افزایش می‌یابد. سرعت جریان‌های اندازه‌گیری شده توسط شرکت جهاد آب و انرژی ۰/۶۲ متر بر ثانیه و سرعت جریان‌های مدل ۰/۶۴ متر بر ثانیه می‌باشد [۱].

ترینند و بلاجی^۱ مشخصه‌های هیدرودینامیکی سواحل شمالی بحرین را به کمک نرمافزار RMA2 سطح تراز آب و نیز نوسان‌های جریان در منطقه را شبیه‌سازی کردند. نرمافزار RMA2، نرمافزاری دوبعدی متوسط گیری شده در عمق می‌باشد. بدین منظور ناحیه‌ای به ابعاد ۴۰ کیلومتر به طرف دریا و ۳۰ کیلومتر در راستای ساحل انتخاب و از شبکه‌بندی مثلثی با مقدار متوسط ۲۵۰۰ متر در نواحی عمیق که در حرکت به سمت سواحل کم عمق به ۱۰۰ متر مرسد استفاده شد [۱۳].

در این تحقیق از روش‌های عددی توسط نرمافزار Mike و نتایج اندازه‌گیری‌های میدانی جریان‌های جزر و مدي در منطقه خارک شبیه‌سازی شده و با استفاده از

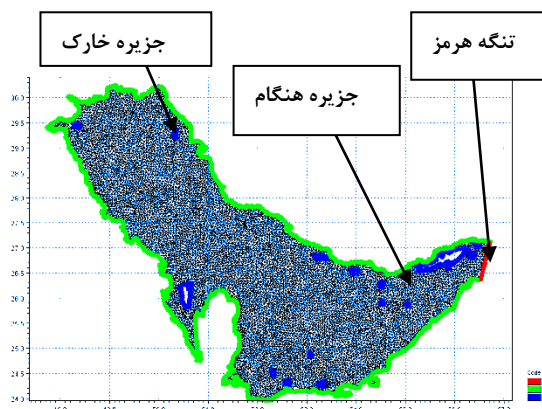
۱۵/۵×۵۲ برآورد شد. چايو از مدل دو بعدی برای شبیه‌سازی حرکت لکه سطحی نفت و از مدل سه‌بعدی برای پیش‌بینی غلظت ذره نفت در ستون آب استفاده کرد. او برای شبیه‌سازی توزیع ذرات نفت در ستون آب مدل سه‌بعدی جابجایی نفت را بر اساس معادله انتقال جرم و توزیع غلظت ذرات نفت بکار برد. حوزه مدل ناحیه‌ای به ابعاد ۷۲×۱۱۰ کیلومتر مرربع و توده آب به ۸ لایه تقسیم شد. نتایج نشان داد که ارتفاع‌های سطحی آب و جریان‌ها از مدل عددی هم‌خوانی خوبی بداده‌های جزر و مدي داشته و ضخامت لکه نفتی سریعاً طی شش ساعت کاهش داشته است، تبخیر رخ داده در ۱ تا ۲ روز اول حدود ۳۶٪ نفت ریزش شده و مقدار حلالیت ۰/۰۲۹ درصد مقدار کل ریزش و غلظت نفت با افزایش عمق کاهش یافته است. وی مشاهده کرد مسیر حرکت لکه نفتی در مدل با مسیر طی شده لکه تطابق خوبی داشته است [۸ و ۷].

حبیبی واحد زنجانی در ۲۰۰۶ و ۲۰۰۸ حرکت سطحی لکه میانات گازی ناشی از ریزش اتفاقی در منطقه دریایی عسلویه را توسط مدلی عددی که بر اساس حل معادلات ناویر- استوکس و پیوستگی با تأثیر سرعت باد متغیر و چگالی متغیر جریان میانات گازی- آب را شبیه‌سازی کرد. وی با استفاده از معادله غلظت و تأثیر پارامترهای چشم و چاه از جمله تبخیر، حلالیت و پخش عمودی مدلی سه‌بعدی برای حرکت ذرات میانات گازی در ستون آب برای منطقه عسلویه را به دست آورد [۹ و ۱۰].

آل رابه و همکاران در ۱۹۹۳ و ۲۰۰۰ به منظور شبیه‌سازی لکه نفتی از برنامه Oilpol استفاده کردند. در استفاده از مدل هیدرودینامیک، از مدل GulfHydro استفاده شد. معادلات استفاده شده در مدل، معادلات اندازه حرکت و پیوستگی به همراه شرایط مرزی دینامیکی و سینماتیکی روی سطح و بستر آب و نیز در مرسها می‌باشد. در مدل Oilpol از روش مونت کارلو استفاده شده، بدین ترتیب که لکه به تعداد زیادی از ذرات لاگرانژی با سایزهای برا بر تقسیم شده و هر لکه در هر بازه زمانی مسافتی را طی می‌کند. از فرضیات اساسی مدل می‌توان به حرکت هر شی شناور، از جمله لکه نفتی با سرعت وجهت جریان آب اشاره کرد [۱۱ و ۱۲].

^۱ Balaji-J.Trindad

گرفته شد، و کلیه سواحل خلیج فارس و جزایر به عنوان خشکی در مدل لحاظ گردید (شکل ۲). بازه زمانی ۱۰ روز از آن جهت منظور شده است که لکه نفتی در حرکت روی سطح آب نهایتاً ۶ روز بر سطح آب شناور مانده و سپس در اثر فرایندهای هوازدگی تهشیش خواهد شد.



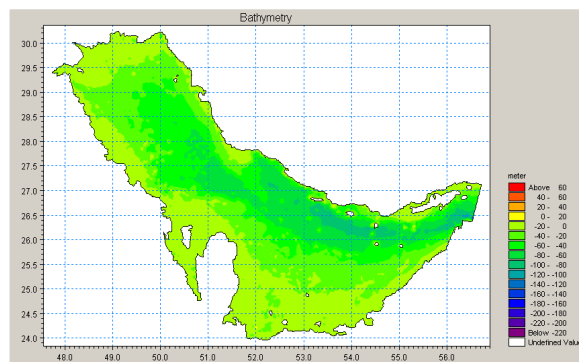
شکل (۲): مرزبندی و شبکه‌بندی خلیج فارس

در مدل مایک که مدلی جهت شبیه‌سازی تغییرات سطح آب و جریان می‌باشد، از معادلات پیوستگی و اندازه حرکت دو بعدی متوسط گیری شده با عمق استفاده می‌شود. به منظور پایداری مدل، بادر نظر گرفتن عدد کورانت برابر ۰/۸ و فواصل شبکه‌بندی ۵ کیلومتر، بازه زمانی ۲۰۰ ثانیه برای اجرای این مدل انتخاب شد. که برای فواصل با ابعاد شبکه ریزتر (مجاورت جزایر) از گام‌های زمانی کوچک‌تر تا ۰/۱ ثانیه متناسب با عدد کورانت استفاده شده است. در مدل هیدرودینامیک در فوریه ۲۰۱۱ به دلیل نبودن داده از متوسط سرعت باد با مقدار ۴/۵ متر بر ثانیه در جهت شمال غربی و در آگوست ۲۰۱۱ به دلیل وجود داده در بازه زمانی مفروض سرعت باد متغیر در نظر گرفته شده است. برای شرایط اولیه سطح تراز آب، سطح متوسط تراز آب در بازه شبیه‌سازی در فوریه ۲۰۱۱ مقدار ۱/۲ متر و در آگوست ۲۰۱۱ مقدار ۱/۷ متر و سرعت اولیه جریان صفر فرض گردیده است. به منظور عمق سنجی منطقه خارک، سواحل بوشهر را به عنوان مرز خشکی و مرزهای شمالی و غربی و جنوبی به عنوان مرزهای باز در نظر گرفته شده است. در منطقه مورد نظر به دلیل داشتن هندسه نامنظم منطقه از شبکه‌بندی مثلثی به فواصل ۵۰۰ مترو ۶۱۱۵۸ گره استفاده شد (شکل ۳).

این اطلاعات در نرم‌افزار Adiose تغییرات محسوس چگالی نفت و مسافت طی شده توسط آن محاسبه شده است.

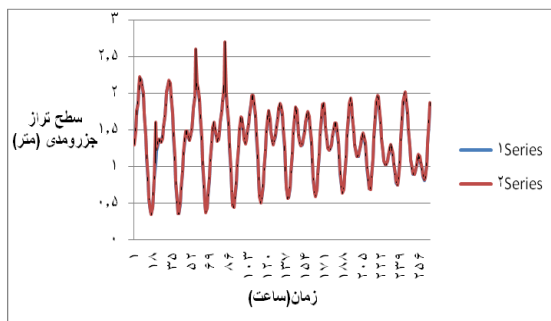
۲- روش‌ها

در این تحقیق اطلاعات لازم برای شبیه‌سازی لکه نفتی از جمله فایل هیدرولوگرافی منطقه خلیج فارس، نوسان‌های سطح تراز جزر و مدی تنگه هرمز و جزیره خارک، اطلاعات سرعت باد در یک ماه از فصل تابستان و یک ماه از فصل زمستان جمع آوری شده است. با استفاده از مدل مایک ۲۱ جریان‌های جزر و مدی در خلیج فارس و سپس در جزیره خارک شبیه‌سازی و معادله مکان-زمان جریان به دست آورده شده است. سپس با استفاده از نرم‌افزار ۲۱ Adiose، مدت زمان رسیدن نفت به امولوسیون کامل و توقف حرکت لکه به دست آمده است. با جایگذاری زمان حرکت لکه در معادله مکان زمان، مختصات نهایی لکه پیش‌بینی شده است. برای عمق سنجی خلیج فارس، با استفاده از فایل Mike هیدرولوگرافی منطقه خلیج فارس و استفاده از نرم‌افزار Mike 21، نقشه عمق منطقه خلیج فارس رسم شد. در این تحقیق به دلیل قابلیت‌های بالای محاسباتی و گرافیکی از نرم‌افزار Mike 21 استفاده شده است. در رسم نقشه عمق منطقه، به دلیل هندسه نامنظم خلیج فارس از شبکه‌بندی مثلثی با فواصل ۵ کیلومتر و ۱۱۳۲۵ گره استفاده به عمل آمد (شکل ۱).

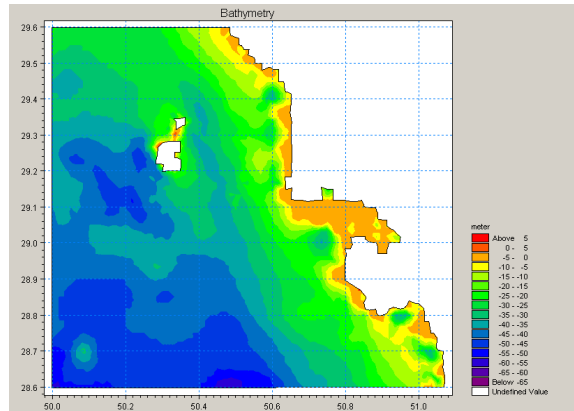


شکل (۱): عمق سنجی خلیج فارس

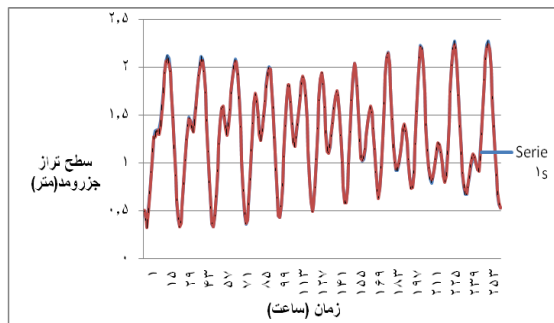
به منظور اجرای مدل هیدرودینامیکی و اعمال شرایط مرزی سطح تراز جزر و مدی در جزیره هنگام از ۱۵ فوریه ۲۰۱۱ به مدت ۱۰ روز و نیز از ۱۰ آگوست به مدت ۱۰ روز را به عنوان سطح تراز جزر و مدی در تنگه هرمز در نظر



شکل (۴): مقایسه سطح تراز جزرومدمی در فوریه ۲۰۱۱ جزیره خارک باسطح تراز جزرومدمی مدل در منطقه خارک (سری ۱ مقادیر واقعی- سری ۲ مقادیر مدل)



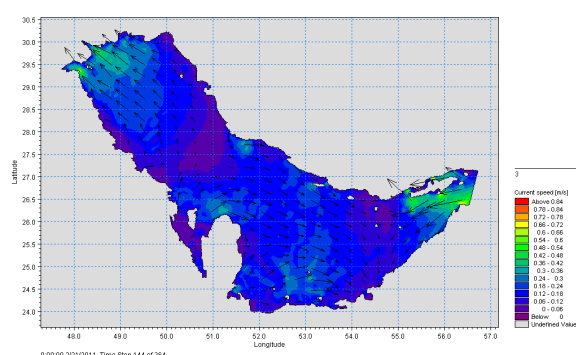
شکل (۳): عمق سنجی منطقه خارک



شکل (۵): مقایسه سطح نوسانات جزرومدمی در آگوست ۲۰۱۱ باسطح تراز جزرومدمی مدل در منطقه خارک(سری ۱ مقادیر واقعی-سری ۲ مقادیر مدل)

۳- بحث

نتایج اجرای مدل در مقیاس بزرگتر برای کل خلیج فارس در شکل‌های ۶ تا ۹ ارائه شده است. جریان‌های جزر و مدی به دست آمده در فوریه و آگوست ۲۰۱۱ مطابق این شکل‌ها برای کل خلیج فارس نشان داده شده است.

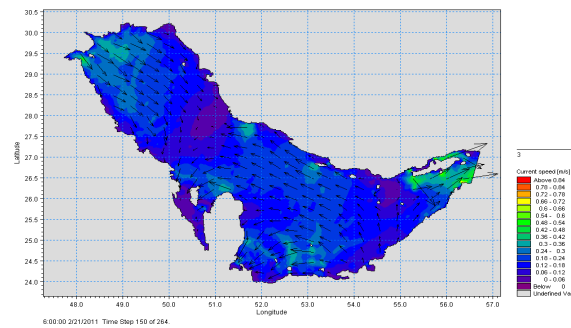


شکل (۶): جریان‌های جزر و مدی در فوریه ۲۰۱۱ در حالت مدل کامل

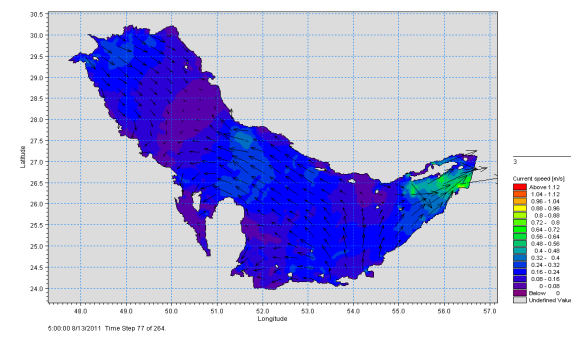
در اجرای مدل هیدرودینامیک برای اطراف جزیره خارک از خروجی‌های مدل بزرگتر برای خلیج فارس به عنوان شرایط مرزی ورودی استفاده شده است. به منظور پایداری مدل و با توجه به فواصل شبکه‌بندی ۵۰۰ متر و با استفاده از عدد کورانت که مناسب‌ترین حالت آن برابر 0.8 می‌باشد، از بازه زمانی ۱۸ ثانیه در ۱۵ الی ۲۵ فوریه و نیز ۱۰ الی ۲۰ آگوست ۲۰۱۱ استفاده شده است. انتخاب دو ماه مذکور و در بازه‌های زمانی ۱۰ روزه از آن جهت صورت گرفته است که مقایسه‌ای در مسیر طی شده توسط لکه، میان دو ماه از سردترین و گرم‌ترین ماه‌های سال بوده و نیز نفت ریزش شده به دلیل تحت تأثیر قرار گرفتن لکه تحت فرایندهای هوازدگی نهایتاً ۶ روز می‌تواند بر سطح آب شناور بماند و نیز در نظر گرفتن روزهای ۱۵ الی ۲۵ فوریه و نیز ۱۰ الی ۲۰ آگوست از آن جهت است که در این روزها، میزان جزر و مد قوی‌تر از سایر روزهای ماه می‌باشد. در محاسبه جریان‌های جزر و مدی و نیز جریان‌های ناشی از باد از تغییرات چگالی صرف‌نظر می‌شود [۱۴]، چگالی آب ثابت فرض شده و در نتیجه از مد باروتروپیک در مدل استفاده شده است. با اعمال شرایط مرزی و نیز استفاده از ضریب مانینگ ۳۲ مدل هیدرودینامیک برای منطقه جزیره خارک اجرا شده و به منظور کالیبراسیون مدل، به دلیل نداشتن داده جریان، در بازه شبیه‌سازی مطابق شکل‌های ۴ و ۵ تغییر سطح تراز جزر و مدی به دست آمده از مدل در ایستگاه خارک با تغییرات تراز جزر و مدی حاصل از سایت هیدرولوگی ایران مقایسه گردیده است.

با اجرای مدل هیدرودینامیک در منطقه خارک، سری زمانی تغییرات مؤلفه افقی و عمودی جریان را در N ۲۹/۱ E ۵۰/۴ (نقطه فرضی ریزش) در ۱۵ الی ۲۶ فوریه ۲۰۱۱ و نیز ۱۰ الی ۲۰ آگوست ۲۰۱۱ محاسبه شد. سپس با استفاده از نرم افزار مطلب، معادله جریان-زمان به دست آمد. همچنین سری فرضیه معادله مؤلفه افقی و عمودی جریان جزر و مدی و ناشی از باد در فوریه و آگوست ۲۰۱۱ با ضریب همبستگی ۰/۹۶۲۲ محاسبه شد.

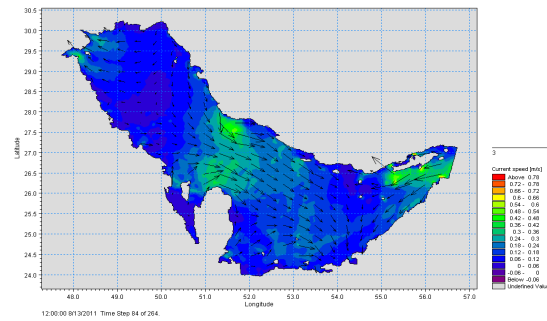
نفت پس از ریزش به دلیل فرایند امولوسیون، قطرات آب به درون نفت فرو رفته و سبب افزایش چگالی نفت و در نهایت فرو رفتن در آب می شود. برای به دست آوردن زمان رسیدن لکه به حالت امولوسیون کامل از نرم افزار Adios ۲ استفاده شد. در اسکله خارک نفت خام سبک ایران^۱ (ILCO) بارگیری می شود که نفت ریزش شده به حجم یک تن فرض شد. وزن مخصوص^۲ نفت ریزش شده ۸/۳۳ کیلوگرم بر متر مکعب است [۱۵]. در ۱۵ فوریه ۲۰۱۱ دمای هوا ۱۹ درجه سانتی گراد و شوری آب دریا ۳۹ جز در هزار و سرعت باد ۴ متر بر ثانیه در جهت شمال غربی می باشد. هنگامی که نفت به ۹۰ درصد آب در قطرات نفت بر سرده، نفت در اثر فرایندهای هوازدگی به امولوسیون کامل رسیده و در اثر نزدیک شدن چگالی آن به چگالی آب حرکتش متوقف خواهد شد. با توجه به نتایج نرم افزار Adios ۲ لکه پس از ۳ روز و ۹ ساعت به امولوسیون کامل خواهد رسید. به منظور محاسبه مدت زمان رسیدن لکه به حالت امولوسیون کامل در صورت ریزش نفت در ۱۰ آگوست ۲۰۱۱، نفت ریزش شده، نفت سبک ایران به مقدار ۱ تن، دمای هوا ۳۳ درجه سانتی گراد و سرعت باد متغیر فرض شد. پس از ۳ روز و ۲۱ ساعت قطرات نفت حاوی ۹۰ درصد آب شده و در نتیجه به همراه جریان های خواهد رسید. از آنجایی که لکه نفتی به همراه جریان های جزر و مدی جابجا می شود، به منظور محاسبه مسافت و مسیر طی شده توسط لکه نفتی، با استفاده از معادلات مکان - زمان جریان های جزر و مدی، مختصات لکه نسبت به نقطه ریزش در هر زمان قابل دست یابی است. در نتیجه برای به دست آوردن مسافت و مسیر طی شده توسط لکه، زمان را در معادلات مکان زمان وارد کرده و این عمل تا زمان رسیدن لکه به امولوسیون کامل انجام شد. در ادامه از روش آل را به و همکاران [۱۱ و ۱۲] در استفاده از نرم افزار



شکل (۷): جریان های جزو مردمی خلیج فارس ۲۱ فوریه ۲۰۱۱ در حالت جزر کامل



شکل (۸): جریان های جزو مردمی ۱۳ آگوست ۲۰۱۱ در حالت جزر کامل



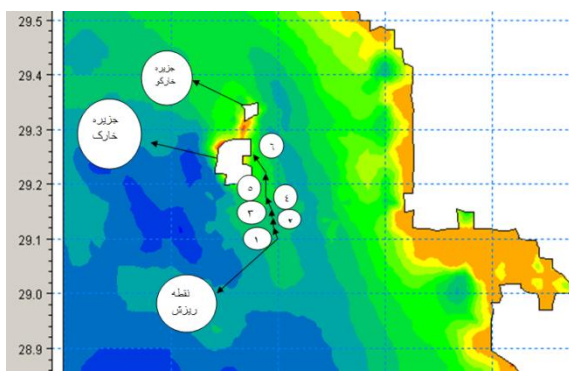
شکل (۹): جریان های جزو مردمی ۱۳ آگوست ۲۰۱۱ در حالت مد کامل

بر اساس نتایج مدل، جهت جریان در منطقه خارک خلاف جهت عقربه های ساعت و در قسمت جنوبی خلیج فارس در جهت عقربه های ساعت به دست آمده است. شرایط جریان و جزر و مد در قسمت شمالی خلیج فارس بدليل وجود جریان ارونده رود و تأثیر بادهای رو به ساحل و خلاف جهت ساحل بسیار پیچیده می باشد که عمدتاً جریان های جزر و مدی در امتداد سواحل بوشهر تا دماغه بحرین به موازات ساحل و دارای سرعتی در حدود ۰/۲ تا ۰/۷ متر بر ثانیه می باشند [۱۱].

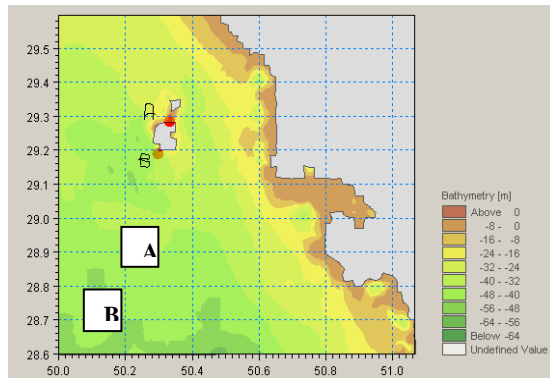
^۱ Iranian Light Crude Oil

^۲ Specific gravity(API)

شمالی و ۵۰/۴ شرقی در ماه فوریه ۲۰۱۱، لکه با سوار شدن بر جریان های جزر و مدبی و داشتن حرکات رفت و برگشتی بهدلیل جزر و مدب در نهایت منجر به آلودگی سواحل خارک و خارکو خواهد شد. در صورت ریزش نفت در موقعیت جغرافیایی ۲۹/۱ شمالی و ۵۰/۴ شرقی در ماه آگوست ۲۰۱۱، لکه به همراه جریان های جزر و مدبی به ساحل خارک برخورد خواهد کرد. در این تحقیق نوسان های سرعت جریان های جزر و مدبی با استفاده از نرم افزار مایک نسبت به زمان برای دو نقطه در اطراف جزیره خارک (شکل ۱۲) در نمودارهای ۱۳ و ۱۴ رسم شده است.



شکل (۱۱): مسیر طی شده توسط لکه نفتی در آگوست ۲۰۱۱

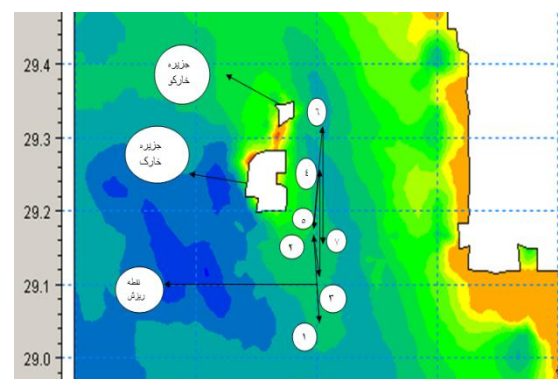


شکل (۱۲): موقعیت ایستگاه های A و B جهت شبیه سازی جریان های جزر و مدبی در منطقه جزیره خارک

همان طور که شکل های ۱۳ و ۱۴ نشان می دهند جریان های جزر و مدبی بهدلیل نوسانات سطح تراز آب در اثر جزر و مدب، حالت نوسانی داشته که مقدار آن در این دو ایستگاه بین ۰ تا ۰/۶ متر بر ثانیه نوسان می کند. این مقادیر همخوانی خوبی با نتایج تحقیقات ذکر شده دارد. ایستگاه A دارای عمق کمتری نسبت به ایستگاه B است، لذا اندازه سرعت

GulfTrak oilpol که در آن شی شناور از جمله لکه نفتی به همراه لایه سطحی آب و در جهت آن هدایت خواهد شد، استفاده شده است.

در صورت ریزش نفت در مختصات ۵۰/۴ شرق و ۲۹/۱ شمال در ۱۵ فوریه ۲۰۱۱ مدت زمان رسیدن لکه به حالت امولوسیون کامل ۸۱ ساعت می باشد. بادر نظر گرفتن نقطه ریزش به عنوان مبدأ مختصات لکه نفتی پس از ۱۲ ساعت در ($X=0/68$ و $Y=5/0$) بر حسب کیلومتر و پس از ۲۴ ساعت در ($X=-1/17$ و $Y=8/6$) و پس از ۳۶ ساعت در ($X=-0/22$ و $Y=1/67$) و پس از ۴۸ ساعت ($X=2/22$ و $Y=8/16$) و پس از ۶۰ ساعت ($X=-1/11$ و $Y=16/27$) و پس از ۷۲ ساعت در ($X=3/05$ و $Y=22/16$) و پس از ۸۱ ساعت در ($X=-0/9$ و $Y=6/24$) کیلومتری خواهد رسید (شکل ۱۰).



شکل (۱۰): مسیر طی شده توسط لکه در فوریه ۲۰۱۱

در صورت ریزش نفت در مختصات ۵۰/۴ شرق و ۲۹/۱ شمال در ۱۰ آگوست ۲۰۱۱ مدت زمان رسیدن لکه به حالت امولوسیون کامل ساعت می باشد. بادر نظر گرفتن نقطه ریزش به عنوان مبدأ مختصات لکه نفتی پس از ۱۲ ساعت در ($X=-1/7$ و $Y=1/26$) و پس از ۲۴ ساعت در ($X=-3/5$ و $Y=9/64$) و پس از ۳۶ ساعت در ($X=-3/9$ و $Y=5/9$) و پس از ۴۸ ساعت در ($X=-4/9$ و $Y=8/5$) و پس از ۶۰ ساعت در ($X=-4/77$ و $Y=9/61$) و پس از ۷۲ ساعت در ($X=-6/2$ و $Y=21/19$) و پس از ۸۴ ساعت در ($X=13/65$ و $Y=-7/33$) و پس از ۹۳ ساعت به در ($X=-8/47$ و $Y=15/52$) کیلومتری نقطه ریزش خواهد رسید (شکل ۱۱).

همان طور که در شکل های ۱۰ و ۱۱ مشخص می باشد، در صورت ریزش لکه نفتی در موقعیت جغرافیایی ۲۹/۱

۴- نتیجه‌گیری

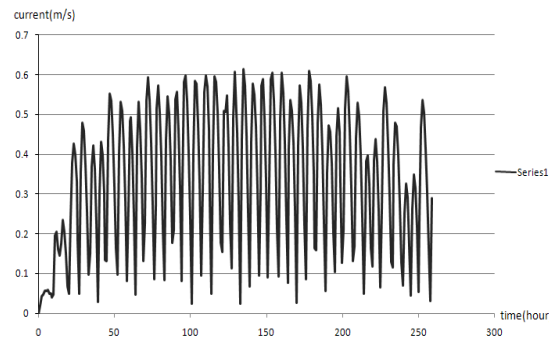
۱- بر اساس نتایج مدل میزان نوسان‌های سطح آب ناشی از جزر و مد از ۲۵-۱۵ فوریه ۲۰۱۱، ۰/۳۳ تا ۲/۲۷ متر است. جهت جریان‌های جزر و مدی در منطقه خارک برخلاف جهت عقربه‌های ساعت و به همراه نوسانات جزر و مد، نوسانات هماهنگ تغییرات مقدار وجهت جریان‌های جزر و مدی مشاهده گردید. مقدار سرعت جریان از ۰ تا ۰/۷ متر بر ثانیه متغیر است. بزرگی جریان‌های جزر و مدیتابع ساختار و شیب بستر، اختلاف تراز سطح آب و وضعیت خط ساحلی می‌باشد. اختلاف بیشتر سطح آب در جزر و مد منطقه خارک می‌تواند جریان‌های با سرعت بیشتر ایجاد نماید.

۲- بر اساس نتایج مدل اجراسده میزان نوسان‌های سطح آب ناشی از جزر و مد از ۱۰ الی ۲۰ آگوست ۲۰۱۱، ۰/۳۶ تا ۲/۱۹ متر است. جهت جریان‌های جزر و مدی در منطقه خارک از ۱۰ الی ۲۰ آگوست هماهنگ با نوسانات جزر و مد از ۰ تا ۰/۶ متر بر ثانیه متغیر است. از آنجا که نوسانات سطح تراز جزر و مدی در فوریه ۲۰۱۱ بیشتر از آگوست ۲۰۱۱ است، جریان‌های جزر و مدی فوریه ۲۰۱۱ دارای سرعت بیشتری می‌باشند. لذا سرعت حرکت آب در منطقه خارک در فصل زمستان بیشتر از تابستان می‌باشد. همچنین پیشروی و جابجایی لکه نفتی در فصل زمستان نسبت به تابستان بیشتر است. خصوصاً در فصل زمستان بهدلیل افزایش سرعت بادهای غالب شمال غربی خلیج فارس، جابجایی حرکت لکه نفتی نیز بیشتر است.

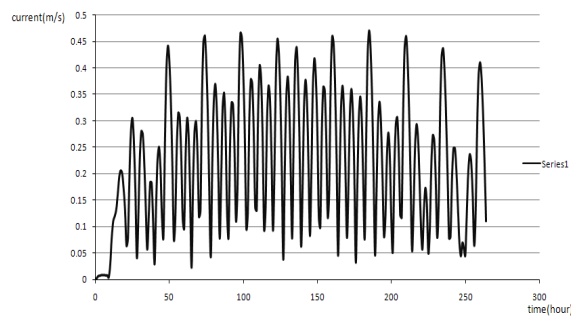
۳- از جمله عوامل مؤثر بر حرکت لکه نفتی، فرایندهای هوازدگی، سرعت باد و جریان آب را می‌توان اشاره کرد که در این بین در خلیج فارس، جریان آب بیشترین اثر را بر حرکت لکه نفتی دارا می‌باشد.

۴- با استفاده از نرم‌افزار مطلب و محاسبه ضرایب سری فوریه معادلات مکان زمان حرکت لکه نفتی در منطقه خارک در فوریه ۲۰۱۱ و آگوست ۲۰۱۱ به دست آورده شد. بر اساس این معادلات، حرکت لکه نفتی تابع سینوسی

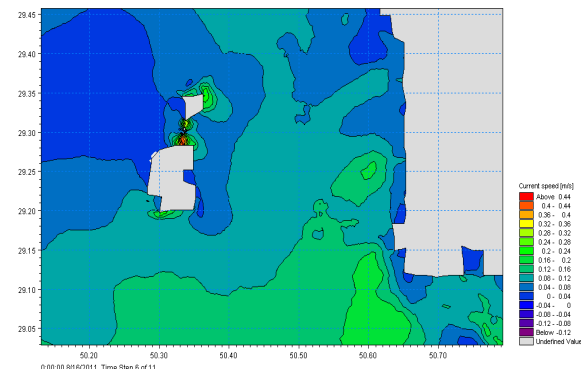
جریان در ایستگاه A نسبت به ایستگاه B بیشتر می‌باشد. در شکل ۱۵ نقاط دارای جریان یکسان در اطراف جزیره خارک برای یک روز از ماه آگوست مشخص شده است. در عمق‌های کمتر بهدلیل افزایش اصطکاک بستر، نوسانات سطح آب قابل ملاحظه است و لذا سرعت جریان‌های جزر و مدی در آب‌های کم عمق بیشتر است.



شکل (۱۳): شبیه‌سازی سرعت جریان‌های جزرومدی نسبت به زمان در ایستگاه



شکل (۱۴): شبیه‌سازی سرعت جریان‌های جزرومدی نسبت به زمان در ایستگاه B



شکل (۱۵): سرعت جریان‌های جزرومدی در ۱۶ آگوست ۲۰۱۱ در اطراف جزیره خارک

مشخص است که سواحل شمال و شمال شرقی این جزیره احتمال آلودگی بیشتری دارند. لذا احتمال آلودگی ناشی از ریزش نفت بهدلیل سرعت بیشتر جریان‌های غالب جزر و مدی در سواحل شمالی جزیره خارک بیشتر است.

۵- مراجع

1. Sadrinasab. M. and Hosseini. S. T. "Numerical Forecasting of Tidal Currents in Bushehr Bay with Coherence Hydrodynamic Model", Proc. 12th Conf. Marine Industries, Gilan Province, Iran, 2010 (In Persian).
2. Nivine I. and Sreya V. "Oil Spills in the Persian Gulf: A Case Study and Environmental Review", Environment and Natural Resources Research; Published by Canadian Center of Science and Education. Vol. 8, no. 2, pp. 144-153, 2018.
3. Amir-Heidari, P. and Raie, M. "Response Planning for Accidental Oil Spills in Persian Gulf: A Decision Support System (DSS) Based on Consequence Modeling", Marine Pollution Bulletin, Vol. 140, no. 2, pp. 116-128, 2019.
4. Amir-Heidari. P. and Raie. M. "A New Stochastic Oil Spill Risk Assessment Model for Persian Gulf: Development, Application and Evaluation", Marine Pollution Bulletin, Vol. 145, no. 2, pp. 357-369, 2019.
5. "Geography of Persian Gulf Persian Islands, Bushehr Province", Publications of the Geographical Organization of the Armed Forces. 2002 (In Persian).
6. Sabbagh Yazdi, S. "Coupled Solution of Oil Slick and Depth Averaged Tidal Currents on Three Dimensional Geometry of Persian Gulf ", Int. J. Environ. Sci. Te., Vol. 2, no. 4, pp. 309-317, 2006.
7. Chao, X., Shankar, N. J. and Cheong, H. F. "Two and Three-Dimensional Oil Spill Model for Coastal Waters", Ocean Eng., Vol. 28.No. 12, pp.1557-1573, 2001.
8. Chao, X., Shankar, N. J. and Wang, S. S. Y. "Development and Application of Oil Spill Model for Singapore Coastal Waters", J. Hydraul. Eng.-Asce, Vol. 129, no. 7, pp. 495-503, 2003.
9. Habibi. S., Torabi Azad, M., and Bidokhti, A. A. "A Numerical Model for the Prediction of Movement of Gas Condensate from Spill Accidents in the Assalouyeh Marine Region,

می‌باشد که این امر ناشی از حرکات رفت و برگشتی در جزر و مد است.

۵- مقدار سرعت جریان‌های جزر و مدی در فوریه ۲۰۱۱ قوی‌تر از آگوست ۲۰۱۱ است و در نتیجه در فوریه ۲۰۱۱ نوسان زیادی در مسیر حرکت لکه نفتی مشاهده می‌شود.

۶- بر اساس شبیه‌سازی به عمل آمده در صورت ریزش لکه نفتی در موقعیت جغرافیایی ۲۹/۱ شمالی و ۵۰/۴ شرقی در ماه فوریه ۲۰۱۱، لکه با سوار شدن بر جریان‌های جزر و مدی و داشتن حرکات رفت و برگشتی بهدلیل جزر و مد در نهایت منجر به آلودگی سواحل خارک و خارک خواهد شد. در صورت ریزش نفت در موقعیت جغرافیایی ۲۹/۱ شمالی و ۵۰/۴ شرقی در ماه آگوست ۲۰۱۱، لکه نفتی به همراه جریان‌های جزر و مدی با حرکتی کندر نسبت به فوریه ۲۰۱۱ به ساحل خارک خواهد رسید.

۷- در امولوسیون نفت، تبخیر نقش مهمی را ایفا می‌کند زیرا با تبخیر مؤلفه‌های سبک‌تر، ویسکوزیته و چگالی نفت افزایش می‌یابد. تبخیر تابع دما و سرعت باد می‌باشد و با افزایش سرعت باد فشار بخار آب بر سطح دریا کاهش یافته و احتمال تبخیر مؤلفه‌های سبک‌تر بالاتر می‌رود. مدت امولوسیون کامل لکه نفتی در آگوست ۲۰۱۱ طولانی‌تر از فوریه ۲۰۱۱ است، زیرا با وجود بالاتر بودن دما در تابستان، بهدلیل وزش بادهای شدید در زمستان در سطح خلیج فارس، تبخیر در زمستان بیش از تابستان است و نیز برهمکنش امواج و لکه نفتی بیش‌تر مشاهده می‌شود و در نتیجه لکه سریع‌تر به حالت امولوسیون کامل خواهد رسید.

۸- با توجه به وجود میدان‌های سرعت جریان آب متفاوت در جهات مختلف در خلیج فارس شاهد مسیرهای متفاوتی در انتقال لکه نفتی در مناطق متفاوت خواهیم بود.

۹- جزیره خارک در قسمت شمالی خلیج فارس واقع است، سرعت جریان‌های جزر و مدی در آن کمتر از تنگه هرمز است. البته نقاطی که دارای عمق کمتری می‌باشند دارای سرعت جریان‌های جزر و مدی بیشتری خواهند بود و حرکت لکه در این مناطق سرعت بیشتری دارد. با توجه به وجود اسکله‌های بارگیری نفت در شرق جزیره خارک در دو ایستگاه احتمال وقوع ریزش نفت در جنوب شرقی این جزیره شبیه‌سازی شده است. بر اساس نتایج حاصل شده

12. Al-Rabeh, A.H., Lardner, R.W. and Gunay, N. "Gulf Spill Version 2.0: A Software Package for Oil Spills in the Persian Gulf", *J. Environ. Journal of Environmental Modelling and Software*, Vol. 15, no. 4, pp. 425-442, 2000.
13. Balaji-J.T. "Tidal Hydrodynamics of North Bahrain Coastal area", *The Arabian J. Sci. Eng.*, Vol. 35, no. 2B, pp. 93-103, 2010.
14. Brekke, C. and Schistad Solberg, A. "Oil spill Detection by Satellite Remote Sensing", *Remote Sens. Environ.*, Vol. 95, no. 1, pp. 1-13, 2005.
15. "Red Sea and Persian Gulf Report", National Geospatial Intelligence Agency, 2011.
- Persian Gulf", *Indian J. Mar. Sci.*, Vol. 37, no. 3, pp. 233-242, 2008.
10. Habibi Vahed, SH., Torabi Azad, M., Bidokhti, A. A. "Numerical Model for Predicting the Movement of Gas Condensate Due to Accidental landslides in the Assaluyeh Maritime Zone", *Proc. 7th Int. Conf. Coastal Engineering, Ports and Marine Structures*, Tehran, Iran, 2006 (In Persian).
11. Al-Rabeh, A., Lardner, R., Gunay, N. and Khan, R. "On Mathematical and Empirical Models for Surface Oil Spill Transport in the Persian Gulf", *Marine Pollution Bulletin*, Vol. 27, pp. 71-77, 1993.